

مقاله پژوهشی

شناسایی و بررسی خصوصیات مولکولی جدایه‌های ویروس کوتولگی زرد پیاز (*Onion yellow dwarf virus*) در برخی از مناطق کشت سیر در ایران

آزاده انتظاری^۱ - محسن مهرور^{۲*} - محمد زکی عقل^۳

تاریخ دریافت: ۱۳۹۹/۰۲/۲۲

تاریخ پذیرش: ۱۳۹۹/۰۵/۱۲

چکیده

ویروس کوتولگی زرد پیاز (*Onion yellow dwarf virus*, OYDV)، یک پوتی ویروس مهم و خسارت‌زا در سیر بوده که باعث ظهور رگه‌های کلروتیک خفیف تا زرد روشن در برگ‌های آلوده می‌شود. به دنبال گسترش علائم، کاهش رشد و اندازه قپه‌های سیر نیز رخ می‌دهد، اما به طور کلی اصلی‌ترین علامت آلودگی OYDV هم در سیر و هم در پیاز وقوع کوتولگی در میزبان آلوده است. به منظور شناسایی و تعیین برخی از خصوصیات مولکولی و بیولوژیکی OYDV در کشور، در سال‌های ۱۳۹۶-۱۳۹۷ تعداد ۶۸ نمونه برگ مشکوک به آلودگی از مزارع سیر در استان‌های خراسان رضوی، مازندران، لرستان، کرمان و خوزستان جمع آوری شد. در واکنش زنجیره‌ای پلیمرز با انجام نسخه‌برداری معکوس (Reverse Transcription-PCR, RT-PCR) با استفاده از یک جفت آغازگر دزنره مربوط به ژن CI، قطعه ۷۰۰ جفت بازی در ۵۴ نمونه تکثیر شد. جهت انجام آنالیز ژنومی و تعیین روابط فیلوژنتیکی در جدایه‌های ایرانی، تعداد ۷ نمونه برگ دارای علائم مشخص بیماری به عنوان نماینده از هریک از مناطق نمونه‌برداری انتخاب شدند. این جدایه‌ها پس از همسانه سازی در ناقل pTG19-T، به شرکت ماکروژن کره جنوبی جهت توالی‌یابی ارسال شدند. مقایسه نتایج توالی‌یابی جدایه‌های ایرانی با سایر جدایه‌های موجود در بانک ژن، نشان دهنده درصد تشابه نوکلئوتیدی جدایه‌های ایرانی OYDV با یکدیگر و با سایر جدایه‌های موجود در بانک ژن به ترتیب (۹۴/۴۴ - ۷۹/۸۹) و (۷۵/۰۴ - ۹۹/۸۶) بود. همچنین دندروگرام حاصل از مطالعه تبارزایی بر اساس ژن CI، جدایه‌های ایرانی را در دو گروه مجزا از هم نشان داد. بررسی وقوع نوترکیبی در میان جدایه‌های ایرانی نشان دهنده عدم وجود هر گونه نوترکیبی در این ناحیه از ژن CI بود. لازم به ذکر است این پژوهش اولین گزارش از وجود OYDV در برخی از مناطق عمده کشت سیر در ایران، بر اساس ژن CI ویروسی می‌باشد.

واژه‌های کلیدی: ایران، بررسی فیلوژنتیکی، سیر، ویروس کوتولگی زرد پیاز

مقدمه

جنس گیاهی آلیوم (*Allium L.*) با بیش از ۸۰۰ گونه گیاهی، بزرگترین و مهمترین جنس خانواده Amaryllidaceae می‌باشد که به طور گسترده در سرتاسر جهان پراکنده شده است. تاکنون بالغ بر ۵۰ بیماری از روی گیاهان این جنس گزارش شده که یکی از مهمترین آنها بیماری‌های ویروسی می‌باشد. در میان بیمارگرهای ویروسی شناخته شده چهار گونه وجود دارد که دائماً آلوده کننده گونه های جنس آلیوم بوده، این گونه‌ها شامل: ویروس کوتولگی زرد پیاز (*Onion yellow dwarf virus* (OYDV)، ویروس نوار زرد تره فرنگی (*Leek yellow stripe virus* (LYSV)، ویروس نهفته

عمومی سیر *Garlic common latent virus* (GCLV) و ویروس نهفته موسیر *Shallot latent virus* (SLV) می‌باشند (۱۵). لازم به ذکر است که این گیاهان عموماً توسط یک یا چندین ویروس در هنگام تکثیر رویشی (غیر جنسی) آلوده می‌شوند و به دلیل کاهش شدید بازده محصول و افت کیفیت آن به عنوان مشکلی جدی مورد توجه قرار گرفته‌اند (۹ و ۱۵). در جنس آلیوم گونه‌های زراعی متعددی وجود دارد که یکی از مهمترین آنها گونه گیاهی *Allium* (Garlic) *sativum L.* یا همان سیر خوراکی می‌باشد که بعد از پیاز رتبه دوم تولید جهانی را در بین گیاهان پیازی به خود اختصاص داده است. با توجه به اهمیت سیر هم در مصارف غذایی و هم دارویی، این گیاه جایگاه ویژه‌ای را در صنعت پزشکی به خود اختصاص داده و در گروه محصولات پر طرفدار جهانی قرار می‌گیرد (۱۳). در ایران، علی‌رغم داشتن پتانسیل زراعی و صنعتی بالا در کشور همچنان با کمبود سیر در بازارهای داخلی روبرو هستیم (۳). دلیل اصلی این اتفاق شیوع

۱، ۲ و ۳- به ترتیب دانشجوی دکتری بیماری‌شناسی گیاهی و دانشیاران، گروه گیاه پزشکی، دانشکده کشاورزی، دانشگاه فردوسی مشهد

(Email: mehrvar@um.ac.ir

*) نویسنده مسئول:

DOI: 10.22067/jpp.v34i4.86685

بالای آلودگی‌های ویروسی در سیر گزارش شده است به طوری که در برخی از مناطق کشت سیر در ایران وقوع آلودگی ویروسی تا ۱۰۰٪ تخمین زده شده است (۱۶). آلودگی در سیر موجب کاهش شدید بازده محصول و افت کیفیت آن می‌شود. در این گیاه تکثیر غیرجنسی (رویشی) منجر به افزایش آلودگی‌های مخلوط از ویروس‌های مختلف شده، همچنین باعث شده این گیاه به راحتی توسط ویروس‌های مختلفی از طریق روش‌های گوناگون انتقال آلوده شود (۱۳). اغلب گیاهان سیر کاشته شده در جهان توسط گونه‌های متعدد ویروسی که با نام *Garlic virus complex* معروف شده‌اند، آلوده می‌شوند اما باید توجه داشت که بالغ بر ۸۸٪ کاهش وزن قبه‌های سیر صرفاً توسط پوتی ویروس‌ها گزارش شده است (۶). خانواده پوتی ویریده (*Potyviridae*) بزرگترین خانواده در گروه ویروس‌های گیاهی آر. ان. ای دار تک رشته‌ای مثبت (+ssRNA) می‌باشد که بر اساس نحوه انتقال توسط ناقلین و خصوصیات ژنومی، به دوازده جنس تقسیم‌بندی می‌شود که بزرگترین جنس این خانواده *Potyvirus* می‌باشد (۲۳). اعضای این جنس دارای ذراتی به طول حداقل ۷۰۰ نانومتر بوده که دربرگیرنده ژنوم آر. ان. ای تک رشته‌ای مثبت به اندازه حدود ۱۰ کیلو باز می‌باشد (۷ و ۲۰). ویروس کوتولگی زرد پیاز (*OYDV*) متعلق به خانواده *Potyviridae* و جنس *Potyvirus* می‌باشد که به عنوان یک گونه بیمارگر گیاهی مهم و اقتصادی شناخته شده و موجب بیماری زایی شدید در پیاز، سیر و سایر گیاهان جنس آلیوم می‌شود (۱۵، ۲۰ و ۲۲). در سال ۱۹۲۹ ملهوس و همکاران با انجام مطالعات گسترده بر روی پیازهای دارای علائم کوتولگی، زرد شدن، پیچیدگی و زیکزازی شدن برگ‌ها، برای اولین بار وجود بیماری موزائیک در پیاز را گزارش کردند (۸ و ۱۲)، که با تداوم و تکمیل مطالعات خود در سال ۱۹۳۰، عامل این بیماری را ویروس کوتولگی زرد پیاز (*Onion yellow dwarf virus-OYDV*) معرفی نمودند (۸). این ویروس توسط شته‌های خانواده *Aphididae* به روش ناپایا منتقل می‌شود. دو گونه *Myzus persicae* و *M. ascalonicus* جزء انتقال دهندگان قوی این ویروس هستند که نقش مهمی در گسترش ویروس دارند (۴، ۱۱، ۱۲، ۱۴، ۱۵ و ۲۲). علائم *OYDV* در برگ‌های آلوده سیر به صورت ایجاد رگه‌ها یا نوارهای کلروتیک خفیف تا زرد روشن بسته به ایزوله ویروسی و کولتور قابل مشاهده است، که به دنبال گسترش علائم، کاهش رشد و اندازه قبه‌ها نیز رخ می‌دهد (۱۷). به طور کلی اصلی ترین علامت آلودگی *OYDV* وقوع کوتولگی در میزبان آلوده است. لازم به ذکر است که بر اساس یافته‌های گاواند و همکاران در سال ۲۰۱۳، هیچ ارتباطی میان رنگ پوست سیر، غلظت ویروس و انتشار بیماری وجود ندارد (۶). جهت شناسایی *OYDV* همانند سایر ویروس‌ها می‌توان از روش الکترومیکروسکوپی، روش‌های سرولوژیکی نظیر الایزا و روش‌های مولکولی نظیر RT-PCR استفاده نمود اما باید توجه داشت که بر خلاف سایر جنس‌های ویروسی، روش سرولوژیکی

پارامتر مناسبی جهت تمایز ویروس‌ها در میان اعضای جنس پوتی ویروس نیست. به طوریکه برخی از واکنش‌های متقابل سرولوژیکی ممکن است موجب خطا در تفسیر نتایج شود. اما در مقابل با وجود پیشرفت‌های اخیر در روش‌های مولکولی ابزارهای جدیدی برای تشخیص، شناسایی و طبقه‌بندی ویروس‌های آلوده کننده جنس آلیوم فراهم شده که در این بین روش RT-PCR به عنوان یک روش تشخیصی جایگزین، سریع و قابل اعتماد برای *OYDV* مورد توجه قرار گرفته است (۳، ۱۰، ۱۷ و ۱۹). در سال ۲۰۰۸ *OYDV* توسط شهرآئین و همکاران برای اولین بار از ایران از مناطق مختلف کشور شامل: تهران، ورامین، رودبار، جیرفت، چالوس، ساری، قزوین و نوشهر و صرفاً بر پایه آزمون سرولوژیکی گزارش شد (۱۶). سپس در سال ۲۰۱۰ بقالیان و همکاران این ویروس را از برخی مناطق ایران از روی سیر جداسازی و گزارش کردند (۳). همچنین آنها درخت فیلوژنتیکی ویروس را بر اساس پوشش پروتئینی (CP) آن رسم کردند (۳). در این تحقیق باتوجه به اینکه روش‌های شناسایی مولکولی بر پایه انجام PCR در پوتی ویروس‌ها بر اساس طراحی پرایمرهای دژنره برای نواحی حفاظت شده در ژنوم آنها استوار است و همچنین بر اساس نتایج بدست آمده از مطالعات محققین خصوصاً در سال‌های اخیر، که منطقه کدشونده CI را جهت اهداف تاکسونومیکی مناسب تر از CP (که به طور معمول استفاده می‌شود) معرفی کرده‌اند (۲ و ۷)، تعداد هفت جدایه *OYDV* جدا شده از مزارع تحت کشت سیر در برخی از مناطق کشور انتخاب و با استفاده از آنالیز مولکولی ناحیه ژن CI مورد بررسی قرار گرفتند و جایگاه تاکسونومیکی آنها در میان جدایه‌های *OYDV* تعیین گردید.

مواد و روش‌ها

منشاء ویروس و شناسایی مولکولی

در پاییز، زمستان و بهار سال‌های ۱۳۹۶ و ۱۳۹۷ پس از بازدید از مزارع سیر در استان‌های خراسان رضوی (مشهد و حومه، تربت حیدریه، گناباد، چناران و فریمان)، مازندران (ساری و بابلسر)، لرستان (الشتر)، کرمان (جیرفت) و خوزستان (شوشتر)، از بین نمونه‌های برگ مشکوک به آلودگی که دارای علائم موزائیک، رگه‌های کلروتیک، بدشکلی و کوتولگی بودند، تعداد ۶۸ نمونه انتخاب شد (شکل ۱). در شرایط آزمایشگاهی، اسید ریبونوکلیئیک کل از بافت گیاهی با استفاده از کیت استخراج آر. ان. ای (RNasy Mini Kit) و بر اساس دستورالعمل شرکت سازنده (Qiagen, Germany)، استخراج شد. پس از انجام نانودراپ و تعیین کیفیت نمونه‌های استخراج شده، با استفاده از یک جفت آغازگر دژنره (CI.F/Rev) که براساس توالی حفاظت شده ژن سی آی (Cylindrical Inclusion- CI) ویروس طراحی شده بود (۷) واکنش زنجیره‌ای پلیمرز (Polymerase

v4.02 انجام شد. همچنین جهت تعیین درصد تشابه هم در سطح نوکلئوتیدی و هم آمینواسیدی از نرم‌افزار Clustal Omega استفاده شد. لازم به ذکر است که توالی‌های نوکلئوتیدی با استفاده از نرم‌افزار ORFfinder (Open Reading Frame Finder) به توالی‌های آمینواسیدی ترجمه شدند. جهت تعیین روابط فیلوژنتیکی و مشخص شدن منشا تکاملی جدایه‌های ایرانی، درخت فیلوژنتیکی با استفاده از نرم‌افزار MEGA 6 و به دو روش Maximum-Likelihood (ML) و Neighbor-Joining (NJ) بر اساس ۱۰۰۰ تکرار (Bootstrap) رسم شد. جهت ترسیم ماتریس شباهت بین جدایه‌های ایرانی OYDV در سطح نوکلئوتیدی و آمینواسیدی از نرم‌افزار SDT (v.1.2) و هم ردیف‌سازی توالی‌ها به روش Muscle استفاده شد. همچنین جهت بررسی وقوع و ردیابی مکان‌های احتمالی نوترکیبی در ژنوم هر یک از جدایه‌های ایرانی از روش‌های قرار داده شده در نرم‌افزار RDP4 (v.4.95) شامل: RDP، GENECONV، 3SEQ، MAXCHI، SISCAN، CHIMERA، BOOTSCAN استفاده شد.

انتقال مکانیکی ژنوم بیماری‌زا ویروس به گیاهان میزبان

جهت بررسی بیماری‌زایی ژنوم ویروس، مایه‌زنی مکانیکی گیاهان میزبان شامل: *Allium cepa*، *Chenopodium quinoa* و گونه‌های عاری از آلودگی *Allium sativum* با استفاده از بافر فسفات پتاسیم (۵۰ میلی‌مولار) و با رساندن pH به عدد ۷ در مرحله ۳-۴ برگی انجام شد. گیاهان تلقیح شده جهت ظهور علائم، در گلخانه عاری از حشرات در شرایط دمایی ۲۵-۲۳ درجه سانتی‌گراد نگهداری شدند. این گیاهان در مدت زمان ۱۵ تا ۲۸ روز از زمان تلقیح مکانیکی، از نظر علائم آلودگی مورد بررسی قرار گرفتند. نهایتاً جهت اثبات بیماری‌زا بودن گیاهان میزبان، از مشاهدات چشمی و همچنین آزمون RT-PCR استفاده شد.

نتایج و بحث

باتوجه به پیشینه پژوهش در مورد ویروس کوتولگی زرد پیاز، تاکنون از برخی کشورهای دنیا گزارش شده اما در ایران بررسی جامعی روی آن صورت نگرفته است. به همین علت جهت بررسی جامع‌تر این ویروس، مطالعات بر روی OYDV در طی فصل‌های پاییز، زمستان و بهار آغاز گردید. بر اساس بررسی‌های مولکولی انجام شده و نتایج به دست آمده در طی سال‌های ۱۳۹۶ و ۱۳۹۷ از مزارع سیر در استان‌های خراسان رضوی، مازندران، لرستان، کرمان و خوزستان از میان ۶۸ نمونه برگی جمع آوری شده، وجود آلودگی در ۵۴ نمونه تأیید شد. پس از بررسی هر یک از نمونه‌های برگی مثبت ارزیابی شده در آزمون زنجیره‌ای پلیمرز و مشاهده قطعه تکثیر شده ۷۰۰ جفت بازی بر روی ژل آگارز، تعداد هفت جدایه مربوط به

PCR-Chain Reaction) انجام شد. بدین صورت که در ابتدا با استفاده از اسید ریبونوکلئیک کل استخراج شده، آغازگر برگشت (CI.Rev) و آنزیم نسخه‌برداری معکوس (Reverse Transcriptase- RT) متعلق به شرکت تاکارا (Takara, Japan)، CDNA سنتز شد. سپس آزمون PCR در حجم ۲۵ میکرولیتری و با استفاده از آغازگرهای رفت و برگشت و مسترمیکس شرکت Ampliqon صورت گرفت. جهت انجام این آزمون، ۲ میکرولیتر از cDNA ساخته شده به عنوان الگو، ۱ میکرولیتر از هر یک از آغازگرهای رفت و برگشت (هریک به غلظت ۱۰ میکرومولار) و ۱۲/۵ میکرولیتر از مخلوط واکنش Taq DNA Polymerase Master Mix Red-Ampliqon با هم ترکیب شدند. چرخه دمایی این آزمون شامل: واکش سازی اولیه در دمای ۹۴ درجه سانتی‌گراد به مدت چهار دقیقه، ۳۵ چرخه متوالی شامل: ۹۴ درجه سانتی‌گراد به مدت ۳۰ ثانیه، ۵۰ درجه سانتی‌گراد به مدت ۳۰ ثانیه، ۷۲ درجه سانتی‌گراد به مدت ۹۰ ثانیه و در آخر، مرحله گسترش نهایی در مدت زمان ده دقیقه در دمای ۷۲ درجه سانتی‌گراد انجام شد. تمامی محصولات واکنش PCR در ژل آگارز ۱٪ رنگ آمیزی شده با گرین ویور (EcoDye DNA Staining Solution-Mxcell) با استفاده از دستگاه الکتروفورز از هم جدا شدند. سپس باندهای تکثیری مورد نظر در این تحقیق، در ناحیه ۷۰۰ جفت بازی، با استفاده از کیت Qiaquick gel extraction kit متعلق به شرکت کیازن (Qiagen, Germany) از روی ژل آگارز خالص سازی شدند. قطعه‌زنی خالص سازی شده مربوط به قسمتی از ژن CI در هر جدایه درون پلاسمید pTG19-T (Vivantis, Malaysia) همسانه سازی شد. پلاسمیدهای نوترکیب به داخل سلول‌های مستعد *Escherichia coli* سویه DH5α تراریخت شدند. شناسایی همسانه‌ها از طریق کلونی پی سی آر (Colony PCR) با استفاده از آغازگرهای عمومی M13 انجام شد. ان. ای پلاسمیدهای نوترکیب با استفاده از کیت Plasmid DNA Isolation Kit (Denazist, Iran) استخراج شدند و جهت تعیین ترادف نوکلئوتیدی به شرکت ماکروژن کره جنوبی (Macrogen Inc., South Korea) ارسال شدند. توالی‌های دریافت شده ابتدا در پایگاه اطلاعاتی NCBI با برنامه BLAST با توالی‌های موجود در بانک ژن مقایسه شدند.

هم ردیف‌سازی چندگانه توالی‌های نوکلئوتیدی، آنالیز فیلوژنتیکی و نوترکیبی

در ابتدا جهت بررسی خصوصیات فیلوژنتیکی جدایه‌های ایرانی OYDV شناسایی شده از نقاط مختلف کشور، هم ردیف‌سازی چندگانه توالی‌های ژنومی میان جدایه‌های ایرانی با سایر جدایه‌های ثبت شده در بانک ژن (NCBI) با استفاده از برنامه DNAMAN

شهرهای گلپه‌ار (IR-Kh48)، کدکن (IR-Kh16)، جیرفت (IR-Kh33)، شوشتر (IR-Kh1, IR-Kh2)، ساری (IR-Kh23) و الشتر (IR-Kh54)، که علائم تبییک آلودگی را بر روی برگ سیر ایجاد کرده بودند، جهت توالی‌یابی و تکمیل مطالعه این ویروس انتخاب و نهایتاً توالی ژنومی این هفت جدایه در بانک جهانی ژن ثبت گردید. اگرچه تعداد زیادی از نمونه‌های جمع‌آوری شده از مناطق مختلف کشور علائم شدید ویروسی را نشان دادند، اما آلودگی تعداد اندکی از نمونه‌ها (۱۴ نمونه) در آزمون زنجیره‌ای پلیمرز تایید نشد. که این امر می‌تواند نتیجه آلودگی میزبان سیر به سایر ویروس‌های آلوده کننده گونه‌های گیاهی آلیوم باشد. یا به عبارت دیگر، ما در میزبان سیر اغلب با کمپلکسی از ویروس‌ها مواجه هستیم که گاهی علائم تقریباً مشابهی را بر روی میزبان نشان می‌دهند. همچنین آلودگی توام این ویروس‌ها موجب وقوع اثر هم‌افزایی بر روی یکدیگر شده و شدت علائم را افزایش می‌دهد. اما در اکثر موارد دو علامت موزاییک شدید و کوتولگی در بین آنها رایج می‌باشد. با این حال نکته‌ی مهم این است که در میان اعضای کمپلکس ویروسی، OYDV به عنوان بیمارگر غالب با بیماری‌زایی بالا معرفی شده است (۶، ۱۰ و ۲۱). در مطالعات بیولوژیکی انجام شده بر روی OYDV، در فاصله زمانی ده تا چهارده روز از مایه‌زنی سه گیاه محک *Chenopodium quinoa*، *Allium cepa* و گونه‌های عاری از آلودگی *Allium sativum* در گلخانه، بروز علائم بیماری آغاز و روند پیشرفت آلودگی تا بیست و هشت روز بصورت روزانه ثبت گردید. به منظور اطمینان از آلودگی گیاهان محک، علاوه بر مشاهدات چشمی علائم، آر. ان. ای کل از بافت گیاهی استخراج و آزمون زنجیره‌ای پلیمرز با استفاده از جفت آغازگر دژنره CI انجام شد و باند مورد انتظار ۷۰۰ جفت بازی بر روی ژل آگارز در گیاهان آلوده مشاهده گردید. علائم اولیه در میزبان *C. quinoa* با ظهور لکه‌های کلروتیک آغاز که به تدریج با پیشرفت بیماری بر تعداد لکه‌ها افزوده شد (شکل ۱). ظهور رگه‌های کلروتیک خفیف تا زرد شدن در برگ‌های سیر عاری از آلودگی، پس از گذشت ۱۴-۱۰ روز از زمان مایه‌زنی مشاهده شد که به تدریج با پیشرفت بیماری بدشکلی، کوتولگی و موزاییک شدید نیز در گیاهان آلوده ظاهر شد (شکل ۱). علائم مشاهده شده با مطالعات قبلی هم‌خوانی داشت (۱، ۱۱ و ۱۵). اما در پیازهای تلقیح شده علائمی از آلودگی بر روی برگ‌ها مشاهده نشد (شکل ۱). که نتیجه حاصل با پژوهش‌های پیشین مطابقت داشت، به طوریکه OYDV جدا شده از سیر به دلیل اختصاصیت بالا میزبانی قادر به آلوده کردن پیاز نیست (۱۱).

در ادامه مطالعه و به منظور انجام آنالیزهای فیلوژنتیکی، در ابتدا هم‌ردیف‌سازی چندگانه ترادف‌های نوکلئوتیدی و آمینو اسیدی میان جدایه‌های ایرانی OYDV و سایر جدایه‌های ثبت شده در بانک ژن از نقاط مختلف جهان صورت گرفت. نتایج نشان دهنده دامنه درصد تشابه نوکلئوتیدی (۹۴/۴۴ - ۷۹/۸۹) و (۷۵/۰۴ - ۹۹/۸۶) به ترتیب

میان جدایه‌های ایرانی با یکدیگر و با سایر جدایه‌های موجود در بانک ژن بود (جدول ۱ و ۲). در مقایسه نمونه‌های ایرانی با یکدیگر کمترین درصد تشابه (۷۹/۸۹) میان جدایه‌ای از شوشتر (IR-Kh2) با جدایه‌های از ساری (IR-Kh23) و لرستان (IR-Kh54) بود و این در حالی است که بالاترین درصد تشابه (۹۴/۴۴) میان دو جدایه از شوشتر (IR-Kh1, IR-Kh2) مشاهده شد (جدول ۱). همچنین نتایج حاصل از مقایسه جدایه‌های ایرانی با سایر جدایه‌های موجود در بانک ژن، نشان دهنده کمترین درصد تشابه (۷۵/۰۴) میان جدایه شوشتر (IR-Kh2) با جدایه‌هایی از آلمان (AT) و آرژانتین (Se) می‌باشد. اما بالاترین درصد تشابه در سطح نوکلئوتیدی میان جدایه شوشتر (IR-Kh2) با جدایه‌ای از اسپانیا (SG1) به میزان ۹۹/۸۶ قابل مشاهده است (جدول ۲). همچنین نتایج حاصل از هم‌ردیف‌سازی چندگانه آمینواسیدی میان جدایه‌های ایرانی باهم و با سایر جدایه‌های موجود در بانک ژن به ترتیب نشان دهنده درصد تشابه (۹۹/۵۶ - ۹۱/۵۶) و (۱۰۰ - ۹۰/۲۲) بود.

به منظور تایید توالی‌یابی جدایه‌های ایرانی، هم‌ردیف‌سازی چندگانه توالی‌های پلی‌پروتئینی این جدایه‌ها با سایر جدایه‌های OYDV موجود در بانک ژن صورت گرفت و وجود موتیف‌های حفاظت شده در ژن CI بررسی شد. با توجه به نقش هلیکازی این محصول، دمین‌های RNA هلیکازی معروف با نام‌های DECHV، VLVYVSS، SATI، VATNII و ENGVTLD به همراه تعدادی از آمینو اسیدهای حفاظت شده (۵)، در جدایه‌های ایرانی یافت شد (شکل ۲). در نتیجه، مشاهده وجود آمینو اسیدهای حفاظت شده و دمین‌های هلیکازی در توالی آمینواسیدی جدایه‌های ایرانی تأییدی بر توالی‌یابی صحیح جدایه‌ها و قرار گرفتن آنها در جنس *Potyvirus* و گونه OYDV بود.

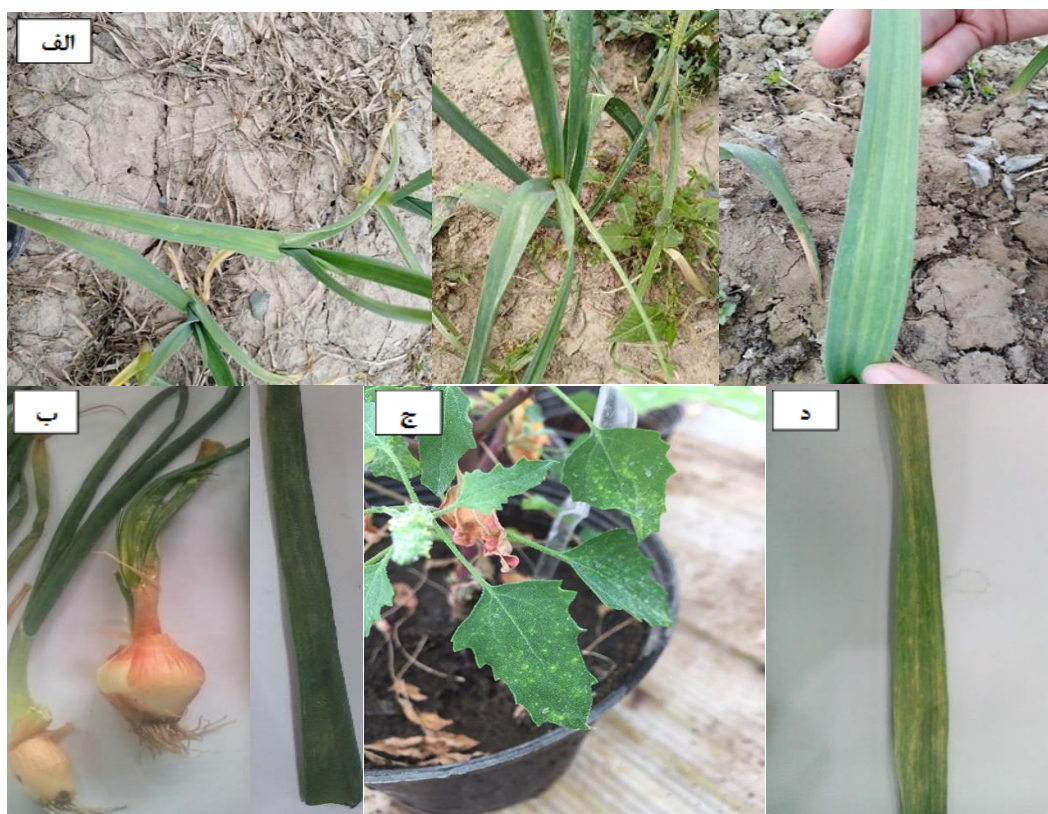
جهت تعیین روابط فیلوژنتیکی و مشخص نمودن منشأ تکاملی آنها، درخت فیلوژنتیکی هفت جدایه ایرانی به همراه یازده جدایه دیگر OYDV موجود در بانک ژن از سایر نقاط دنیا، بر اساس تطابق ترادف نوکلئوتیدی با دو روش Neighbour joining و Maximum likelihood استفاده از نرم افزار MEGA 6 و براساس ۱۰۰۰ تکرار رسم گردید. نتایج نشان دهنده یکسان بودن توپولوژی دندروگرام رسم شده در دو روش NJ و ML بود. به همین دلیل صرفاً دندروگرام رسم شده به روش ML نمایش داده شد (شکل ۳)، که بر اساس آن جدایه‌های مورد بررسی OYDV در دو گروه اصلی (I, II) قرار می‌گیرند به طوریکه هر گروه خود به دو زیرگروه مجزا تقسیم بندی می‌شود (شکل ۳).

جدول ۱- درصد تشابه توالی نوکلئوتیدی ژن CI میان جدایه‌های ایرانی OYDV جمع آوری شده از نقاط مختلف کشور به صورت جداگانه با یکدیگر

Table 1- Percentage of CI nucleotide identities between Iranian OYDV isolates collected from different parts of the country separately

جدایه‌های ایرانی Iranian isolates	1	2	3	4	5	6	7
1: IR-kh2	100.00	80.60	94.44	92.58	83.31	79.89	79.89
2: IR-kh48	80.60	100.00	83.31	84.02	88.16	94.15	91.44
3: IR-kh1	94.44	83.31	100.00	91.16	84.45	82.74	82.03
4: IR-kh16	92.58	84.02	91.16	100.00	85.73	83.02	83.59
5: IR-kh33	83.31	88.16	84.45	85.73	100.00	88.45	89.87
6: IR-kh23	79.89	94.15	82.74	83.02	88.45	100.00	92.72
7: IR-kh54	79.89	91.44	82.03	83.59	89.87	92.72	100.00

بالاترین درصد تشابه میان جدایه‌های ایرانی در هر ردیف، برای هر جدایه به صورت برجسته نمایش داده شده است.
The highest percentage of identities between Iranian isolates in each row is displayed in bold for each isolate.



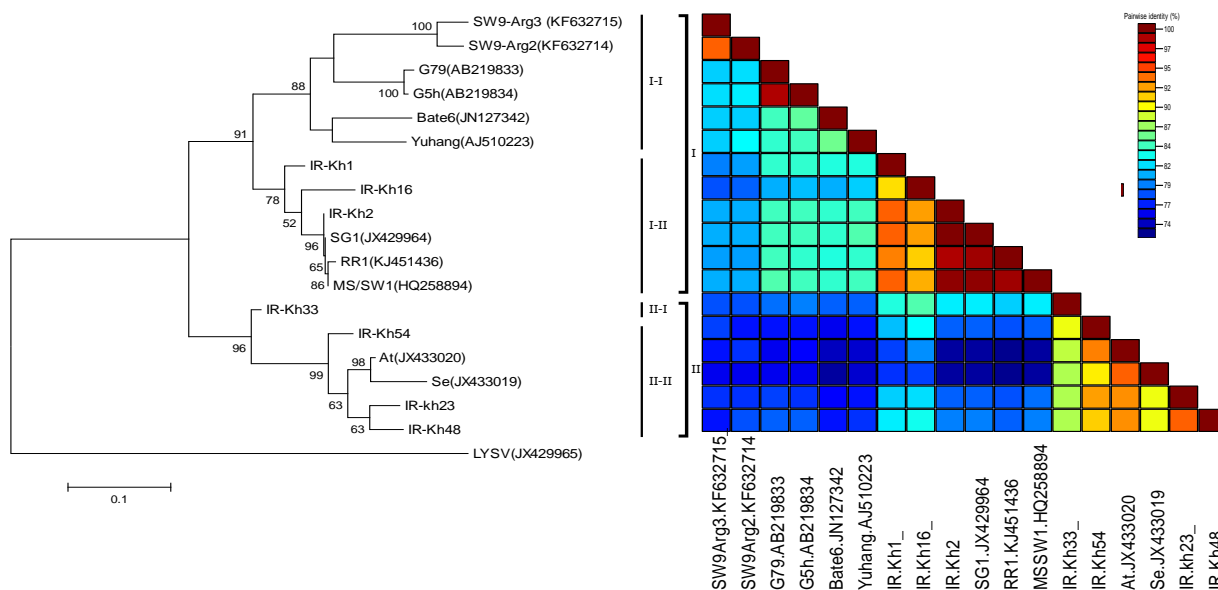
شکل ۱- نمونه‌های برگ‌های سیر آلوده به ویروس کوتولگی زرد پیاز (OYDV) با علائم رگه‌های کلروتیک و موزاییک شدید از استان خراسان رضوی (الف). مشاهده علائم ظاهر شده در گیاهان مایه‌زنی شده: عدم ظهور علائم در پیاز (ب)، ظهور لکه‌های کلروتیک در *C. quinoa* (ج) و ظهور رگه‌های زرد رنگ نامنظم و موزاییک شدید در سیرهای مایه‌زنی شده عاری از آلودگی (د)

Figure 1- Leaf samples of garlic infected by onion yellow dwarf virus (OYDV) with symptoms of yellow striping and severe mosaic, collected from Razavi Khorasan Province (A). Symptoms of inoculated plants: No symptoms on *A. cepa* (B), chlorotic local lesions on *C. quinoa* leaves (c) and irregular yellow striping and sever mosaic observed in inoculated garlic



شکل ۲- هم ردیف‌سازی توالی آمینو اسیدی ژن CI در جدایه‌های ایرانی OYDV. آمینو اسیدهای حفاظت شده به رنگ خاکستری و پنج دمین هلیکازی (I-V) با کشیده شدن خط قرمز در زیر آنها، قابل مشاهده‌اند.

Figure 2- Cylindrical inclusion (CI) protein sequence alignment of Iranian OYDV isolates. Conserved amino acids are colored in gray and the red line was drawn under the five helicase domains (I-V).



شکل ۳- درخت فیلوژنتیکی ترسیم شده در سمت چپ تصویر، با استفاده از روش Maximum-likelihood در نرم‌افزار MEGA 6، حاصل از هم ردیف‌سازی چندگانه ترادف نوکلئوتیدی ناحیه ژنی CI هفت جدایه ایرانی شناسایی شده از نقاط مختلف کشور به همراه یازده جدایه OYDV ثبت شده در بانک جهانی ژن قابل مشاهده است. اعداد نمایانگر درصد Bootstrap بر اساس ۱۰۰۰ تکرار می‌باشند. به عنوان عضو برون گروه (Outgroup) انتخاب شد. در سمت راست تصویر، ماتریس شباهت در سطح نوکلئوتیدی با استفاده از نرم‌افزار SDT v.1.2 و هم ردیف‌سازی توالی‌ها به روش MUSCLE ترسیم شد

Figure 3- Maximum-likelihood (ML) phylogenetic tree in MEGA6 software constructed based on multiple CI nucleotide sequence alignments of seven Iranian isolates identified from different parts of the country along with eleven OYDV isolates available in the GenBank. Numbers at each node indicate bootstrap percentages based on 1000 replications. LYSV (JX429965) was used as an outgroup. Two-dimensional nucleotide diversity plot constructed based on SDT MUSCLE alignment

جدول ۲- درصد تشابه نوکلئوتیدی ژن CI میان هفت جدایه ایرانی OYDV از نقاط مختلف کشور با یازده جدایه ثبت شده در بانک جهانی ژن از نقاط مختلف دنیا
 Table 2- Percentage of CI nucleotide identities among seven Iranian OYDV isolates from different parts of the country and eleven isolates registered in the GenBank from different parts of the world

جدایه Isolate	1	2	3	4	5	6	7	8	9	10	11	12	13	14	15	16	17	18
1: RR1-KJ451436	100.00	99.29	99.00	98.86	79.89	74.47	82.74	74.47	79.32	85.16	76.46	93.58	91.58	85.02	81.46	81.17	84.45	85.31
2: MS/SW1-HQ258894	99.29	100.00	99.71	99.57	80.46	75.04	83.31	75.04	79.89	85.59	80.03	94.29	92.30	85.45	81.88	81.60	84.88	85.73
3: SG1-JX429964	99.00	99.71	100.00	99.86	80.60	75.04	83.31	75.04	79.89	85.31	79.89	94.29	92.54	85.73	81.74	81.74	85.16	85.45
4: IR-Kh2	98.86	99.57	99.86	100.00	80.60	75.04	83.31	75.04	79.89	85.45	79.89	94.44	92.58	85.59	81.74	81.74	85.02	85.59
5: IR-Kh48	79.89	80.46	80.60	80.60	100.00	93.01	83.16	90.01	91.44	79.74	94.15	83.31	84.02	78.46	77.89	79.17	77.89	79.74
6: At-Jx433020	74.47	75.04	75.04	75.04	93.01	100.00	88.59	94.44	93.58	77.32	93.30	78.74	80.88	75.89	77.89	78.32	75.61	77.03
7: IR-Kh33	82.74	83.31	83.31	83.31	88.16	88.59	100.00	88.45	89.87	80.60	88.45	84.45	85.73	79.74	79.32	79.17	79.60	80.31
8: Se-Jx433019	74.47	75.04	75.04	75.04	90.01	94.44	88.45	100.00	90.58	77.03	89.87	78.32	78.89	75.89	76.89	76.89	74.89	76.75
9: IR-Kh54	79.32	79.89	79.89	79.89	91.44	93.54	89.87	90.58	100.00	77.89	92.72	82.03	83.59	77.60	78.74	77.89	76.89	77.89
10: Gsh-AB219834	85.16	85.59	85.31	85.45	79.74	77.32	80.60	77.03	77.89	100.00	78.60	85.16	82.03	85.45	83.02	83.31	86.16	98.72
11: IR-Kh23	79.46	80.03	79.89	79.89	94.15	93.30	88.45	89.87	92.72	78.60	100.00	82.74	83.02	77.75	78.60	78.60	77.18	78.74
12: IR-Kh1	93.58	94.29	94.29	94.44	83.31	78.74	84.45	78.32	82.03	85.16	82.74	100.00	91.16	84.74	80.74	81.17	84.74	85.02
13: IR-Kh16	91.58	92.30	92.58	92.58	84.02	80.88	85.73	78.89	83.59	82.03	83.02	91.16	100.00	82.60	79.17	79.74	81.60	81.88
14: Yuhang-AJ510223	85.02	85.45	85.73	85.59	78.46	75.89	79.74	75.89	77.60	85.45	77.75	84.74	82.60	100.00	82.45	83.59	86.45	85.16
15: SW9-Arg3-KF632715	81.46	81.88	81.74	81.74	77.89	77.89	79.32	76.89	78.74	83.02	78.60	80.74	79.17	82.45	100.00	94.44	82.74	82.60
16: SW9-Arg2-KF632714	81.17	81.60	81.74	81.74	79.17	78.32	79.17	76.89	77.89	83.31	78.60	81.17	79.74	83.59	94.44	100.00	82.74	82.88
17: Bate6-JN127342	84.45	84.88	85.16	85.02	77.89	75.61	79.60	74.89	76.89	8.16	77.18	84.74	81.60	86.45	82.74	82.74	100.00	85.59
18: G79-AB219833	85.31	85.73	85.45	85.59	79.74	77.03	80.31	76.75	77.89	98.72	78.74	85.02	81.88	85.16	82.60	82.88	85.59	100.00

جدایه‌ها برحسب نام جدایه و شماره دسترسی در جدول ذکر شده‌اند.
 جدایه‌های ایرانی در جدول به صورت جهت تفکیک از سایر جدایه‌های دنیا نمایش داده شده‌اند.
 Isolates are listed in the table by isolate name and accession number.
 Iranian isolates are highlighted in the table to distinguish them from other isolates in the world.

کنار درخت فیلوژنتیکی رسم شده، ماتریس درصد تشابه میان جدایه های ایرانی OYDV و سایر جدایه های این ویروس در بانک ژن، قابل مشاهده است که با استفاده از نرم افزار SDT v.1.2 در سطح نوکلئوتیدی رسم شد (شکل ۳).

جهت بررسی وقوع نوترکیبی در ناحیه CI ژنومی در جدایه های ایرانی از نرم افزار RDP4 استفاده شد. نتایج نشان دهنده عدم وجود هر گونه نوترکیبی در این ناحیه بود. همچنین در بررسی سایر جدایه های دنیا نیز هیچ گونه نوترکیبی در ناحیه CI مشاهده نشد.

در این پژوهش، وجود ویروس OYDV از برخی مناطق کاشت سیر در کشور مورد بررسی قرار گرفت و برای اولین بار در ایران خصوصیات مولکولی ویروس بر پایه ژن CI تعیین و جایگاه فیلوژنتیکی جدایه های ایرانی در میان سایر جدایه های موجود در بانک ژن مشخص شد. بر اساس نتایج بدست آمده، OYDV به عنوان بیمارگر غالب در میزبان سیر مشاهده شد که در اکثر مناطق مورد نمونه برداری از شیوع بالایی برخوردار است. در نتیجه از یک سو با توجه به اینکه ایران به عنوان یکی از تولیدکنندگان مهم این محصول در جهان شناخته می شود و از سوی دیگر با توجه به اهمیت سیر در صنایع غذایی، دارویی و پزشکی، تعیین خصوصیات مولکولی ویروس های آن به عنوان یک بیمارگر مهم با خسارت بالا، به منظور تعیین یک برنامه کنترل کارآمد دارای اهمیت زیادی می باشد.

گروه I شامل جدایه های ایرانی از آرژانتین (KF632714/KF632715)، ژاپن (AB219833/AB219834)، استرالیا (HQ258894/JN127342)، چین (AJ510223)، اسپانیا (JX429964)، هند (KJ451436) و ایران می باشد. این گروه از نظر جغرافیایی یک گروه نامتجانس را تشکیل می دهد. تمامی این دوازده جدایه واقع در گروه I از میزبان سیر جدا شده اند. سه جدایه ایرانی IR-Kh1، IR-Kh2 و IR-Kh16 جدا شده از سیر در گروه I و در زیر گروه I-II در کنار جدایه هایی از اسپانیا (JX429964)، استرالیا (HQ258894) و هند (KJ451436) قرار گرفتند که بیانگر رابطه ژنتیکی بالای این جدایه ها با یکدیگر می باشد. اما گروه II که خود نیز به دو زیر گروه تقسیم بندی می شود در برگرنده چهار جدایه ایرانی IR-Kh33، IR-Kh54، IR-Kh23 و IR-Kh48 جدا شده از سیر می باشد که در ارتباط نزدیک با دو جدایه آلمانی (JX433020) و آرژانتینی (JX433019) OYDV جدا شده از میزبان پیاز (Onion) می باشند. با توجه به اینکه گروه II در برگرنده جدایه هایی از دو میزبان سیر و پیاز می باشد، جدایی میزبانی با گروه بندی فیلوژنتیکی ما هم خوانی ندارد. همچنین با توجه به هم گروه شدن برخی از جدایه ها از مناطق مختلف جهان با یکدیگر که انطباقی با قرابت جغرافیایی ندارند، نشان می دهد که انتشار گسترده و جهانی OYDV نمی تواند تنها به وسیله ناقلین شته ای صورت گیرد و احتمال نقش صادرات و واردات این محصول در جهان از طریق پیاز آن تقویت می شود. در

منابع

1. Abdel Wahab A.S., Elnagar S., and El-Sheikh M.A.K. 2009. Incidence of aphid-borne *Onion yellow dwarf virus* (OYDV) in *Alliaceae* crops and associated weeds in Egypt. The 4th Conference on Recent Technologies in Agriculture, 3-5 Nov. 2009. Available at <https://www.researchgate.net/publication/274732854>.
2. Adams M.J., Antoniw J.F., and Beaudoin F. 2005. Overview and analysis of the polyprotein cleavage sites in the family *Potyviridae*. *Molecular Plant Pathology* 6: 471-487.
3. Baghalian K., Kim O.K., and Natzuaki K.T. 2010. Molecular variability and genetic structure of the population of *Onion yellow dwarf virus* infecting garlic in Iran. *Virus Genes* 41: 282-291.
4. Bos L. 1983. Viruses and virus diseases of Allium species. *Acta Horticulturae* 127:11-29.
5. Fairman-Williams M.E., Guenther U., and Jankowsky E. 2010. SF1 and SF2 helicases: Family matters. *Current Opinion in Structural Biology* 20: 313-324.
6. Gawande S.J., Chimote K.P., Gurav V.S., and Gopal J. 2013. Distribution and natural incidence of *Onion yellow dwarf virus* (OYDV) on garlic and its related Allium species in India. *Indian Journal of Horticulture* 70(4): 544-548.
7. Ha C., Coombs S., Revill P.A., Harding R.M., Vu M., and Dale J.L. 2008. Design and application of two novel degenerate primer pairs for the detection and complete genomic characterization of potyviruses. *Archives of Virology* 153: 25-36.
8. Henderson W.J. 1935. Yellow Dwarf, a Virus Disease of Onions, and Its Control. *Bulletin of the Agricultural Experiment Station of the Iowa State College of Agriculture and Mechanic arts* 188: 209-255.
9. Koch M., and Salomon R. 1994. Serological detection of Onion yellow dwarf virus in garlic. *Plant disease* 78: 785-788.
10. Lunello P., Ducasse D., and Conci V. 2005. Improved PCR detection of potyviruses in Allium species. *European Journal of Plant Pathology* 112: 371-378.
11. Manglli A., Mohammed H.S., Ali E.L., Hussein A., Agosteo G.E., Albanese G., and Tomassoli L. 2014. Molecular analysis of the 3' terminal region of Onion yellow dwarf virus from onion in southern Italy. *Phytopathologia*

- Mediterranea 53(3): 258.
12. Melhus I.E., Reddy C.S., Henderson W.J., and Vestal E.F. 1929. A new virus disease epidemic on onions. *Phytopath* 19: 73-77.
 13. Nam M., Lee Y.H., Park C.H.Y., Lee M.L., Bae Y.S., Lim S., Lee J.H., Moon J.S., and Lee S.H. 2015. Development of Multiplex RT-PCR for Simultaneous Detection of Garlic Viruses and the Incidence of Garlic Viral Disease in Garlic Genetic Resources. *Plant Pathology Journal* 31(1): 90-96.
 14. Raco M. 2016. Elimination of viruses in garlic (*Allium sativum* L.) by different methods. Bachelor thesis 9-53.
 15. Sevik M.A. 2018. Detection of Viruses in Onion Production Areas in Samsun, Turkey. *Journal of Scientific and Engineering Research* 5(4): 101-104.
 16. Shahraneen N., Lesemann D.E., and Ghotbi T. 2008. Survey for viruses infecting onion, garlic and leek crops in Iran. *OEPP/EPPO Bulletin* 38: 131-135.
 17. Soliman A.M., Mahmoud S.Y.M., and Dawood R.A. 2012. Molecular characterization of *Onion yellow dwarf virus* (garlic isolate) with production of virus-free plantlets. *International Journal of Virology* 8(1): 61-70.
 18. Sorel M., Garcia J.A., and German-Retana S. 2014. The Potyvirus cylindrical inclusion helicase: a key multipartner and multifunctional protein. *Molecular Plant-Microbe Interactions* 27(3): 215-226.
 19. Tsuneyoshi T., Matsumi T., Natsuaki K.T. and Sumi S. 1998. Nucleotide sequence analysis of virus isolates indicates the presence of three Potyvirus species in *Allium* plants. *Archives of Virology* 143: 97-113.
 20. Valli A., Garcia J.A., and Lopez-Moya J.J. 2015. *Potyviridae*. *Virology* 1-10.
 21. Van Dijk P. 1993. Survey and characterization of potyviruses and their strains of *Allium* species. *Netherlands Journal of Plant Pathology* 99: 1-48.
 22. Verma R.K., Mishra R., Petrov N.M., Stoyanova M., Stoev A., Bakardjieva N.V., and Gaur R.K. 2015. Molecular characterization and recombination analysis of an Indian isolate of Onion yellow dwarf virus. *European Journal of Plant Pathology* 143: 437-445.
 23. "Virus Taxonomy: 2019 Release" *talk.ictvonline.org*. International Committee on Taxonomy of Viruses. Retrieved 30 April 2020.

Identification and Molecular Characterization of *Onion yellow dwarf virus* Isolates in some Garlic Growing Areas of Iran

A. Entezari¹- M. Mehrvar^{2*}- M. Zakiaghi³

Received: 11-05-2020

Accepted: 02-08-2020

Introduction: Garlic (*Allium sativum* L.) is one of the medicinal and economically important crop plants belonging to the Amaryllidaceae and is well known for its worldwide applications. It is widely used as a vegetable. In Iran despite the agricultural potential, we are still facing a garlic shortage in the market, mainly due to the high prevalence of plant diseases particularly viral infections. Most garlic plants are infected by several viruses belonging to different taxonomic groups known as “garlic viral complex”. However, *Onion yellow dwarf virus* (OYDV) acts as a major element of this complex. This virus is an important and damaging potyvirus in garlic which causes mild chlorotic to bright yellow stripes on infected leaves. OYDV survives in bulbs and sets and therefore can be transmitted during vegetative reproduction. Also, the green peach aphid, *Myzus persicae*, as well as other aphids, spreads the virus from plant to plant in a nonpersistent manner. OYDV, RT-PCR technique is an effective analytical tool for this purpose. In Iran, for the first time, Shahrane et al. (2008) were reported OYDV by the serological method in garlic. Afterward, Baghalian et al. (2010), studied the molecular structure of Iranian OYDV based on the coat protein gene analysis. The current study was intended to investigate the partial spreading, genetic diversity and phylogenetic analysis of the different OYDV isolates from garlic and comparing them with other sources of OYDV isolates available in the GenBank. In this study, we present for the first time the genome sequence of Iranian isolates of OYDV based on the CI gene. Besides, the recombination pattern of the CI gene in Iranian isolates was analyzed.

Materials and Methods: During two consecutive growing seasons of 2016-2017 and 2017-2018, a survey was conducted in some of the major areas under the cultivation of garlic in Iran (Khorasan Razavi: Mashhad, Golbahar and Kadcan, Mazandaran: Sari and Babolsar, Kerman: Jiroft, Lorestan: Aleshtar and Khuzestan: Shoshtar). Leaf samples with yellow striping; crinkling; dwarfing and mosaic symptoms were collected and taken to the laboratory for both sap (mechanical) and molecular tests (RT-PCR/PCR), to identify the disease cause. Total RNA was extracted from the symptomatic leaf samples using the RNeasy Mini Kit (Qiagen, Germany) and used for the reverse transcription (RT-PCR) test. Primary detection was done by RT-PCR using degenerate primer pairs (CIF/R). After performing PCR, products with 700 bp length, separated by electrophoresis in 1% agarose gel extracted and purified with the Qiaquick Gel Extraction Kit (Qiagen, Germany). Then PCR products were cloned in pTG19-T Vector (Vivantis, Malaysia). The recombinant plasmids were extracted using the plasmid DNA isolation kit (Denazist, Iran) followed by sequencing (Macrogene, South Korea). Nucleotide sequence data were analyzed using Clustal Omega, MEGA 6, and RDP 4 software.

Results and Discussion: Among Iranian OYDV garlic isolates which detected in this study, seven isolates from Golbahar, Kadcan, Sari, Jiroft, Aleshtar and Shoshtar with severe mosaic symptom and dwarfing were selected for sequencing and determination of their molecular and biological characteristics. Comparative analyses of the partial CI gene sequences showed that seven Iranian isolates shared 75.04-99.86% and 90.22-100% sequence identities at the nucleotide and amino acid level respectively, with different OYDV isolates available in the GenBank. Phylogenetic tree based on partial CI gene placed Iranian OYDV isolates in two varying evolutionary groups; I and II. Group I consisted of OYDV isolates from Argentina (KF632714/KF632715), Japan (AB219833/AB219834), Australia (HQ258894/JN127342), China (AJ510223), Spain (JX429964), India (KJ451436) alongside Iranian isolates. This group is geographically heterogeneous. All these isolates in group I are isolated from the garlic host. Three Iranian isolates, IR-Kh1, IR-Kh2, and IR-Kh16, which isolated from garlic placed in subgroup I-II, along with isolates from Spain (JX429964), Australia (HQ258894), and India (KJ451436). It indicates the high degree of genetic relationship among Iranian isolates in this subgroup. However, group II, which is also divided into two subgroups, includes four Iranian garlic isolates, IR-Kh33, IR-Kh54, IR-Kh23, and IR-Kh48, and are closely related to the German (JX433020) and Argentine (JX433019) onion isolates. Recombination analysis among Iranian and other isolates in the CI gene showed that there was no recombination in this part of the genome.

1, 2 and 3- Ph.D. Student of Plant Pathology and Associate Professors, Department of Plant Pathology, Faculty of Agriculture, Ferdowsi University of Mashhad, respectively.

(*- Corresponding Author Email: mehrvar@um.ac.ir)

DOI: 10.22067/jpp.v34i4.86685

Conclusion: Based on the results of this study, the presence of OYDV isolates from some garlic areas of Iran was confirmed and for the first time, the molecular characteristics of the virus based on CI gene were determined. Results showed that OYDV is a dominant pathogen in the garlic field, which is highly prevalent in most sampled areas. Considering the importance of garlic in the food, pharmaceutical, and medical industries, determining the molecular characteristics of its viruses is highly important to determine an efficient control program.

Keywords: Garlic, Iran, *Onion yellow dwarf virus*, Phylogenetic analysis